

## 第七章 系统模拟

### 7.1 系统函数与系统特性

### 7.2 系统的因果性和稳定性

### 7.3 信号流图

### 7.4 系统的结构

### 7.1 系统函数和系统特性

系统函数 $H(\cdot)$ 在系统分析中具有重要的地位。

本节通过系统函数 $H(\cdot)$ 讨论系统的特性。

#### 一、系统函数的零点与极点

LTI系统的系统函数是复变量 $s$ 或 $z$ 的有理分式，即

$$H(\cdot) = \frac{Y_z(\cdot)}{F(\cdot)} = \frac{B(\cdot)}{A(\cdot)}$$

$H(\cdot)$ 只与微分/差分方程的系数和阶数有关（即只与系统的结构、元件参数有关），而与激励、初始状态均无关，反映系统的固有特性。

$A(\cdot)=0$ 的根 $p_1, p_2, \dots, p_n$ 称为系统函数 $H(\cdot)$ 的极点；

$B(\cdot)=0$ 的根 $\zeta_1, \zeta_2, \dots, \zeta_m$ 称为系统函数 $H(\cdot)$ 的零点。

#### 1. 零点与极点概念

对于连续系统

$$H(s) = \frac{B(s)}{A(s)} = \frac{b_m s^m + b_{m-1} s^{m-1} + \dots + b_1 s + b_0}{s^n + a_{n-1} s^{n-1} + \dots + a_1 s + a_0} = \frac{b_m \prod_{j=1}^m (s - \zeta_j)}{\prod_{i=1}^n (s - p_i)}$$

对于离散系统

$$H(z) = \frac{B(z)}{A(z)} = \frac{b_m z^m + b_{m-1} z^{m-1} + \dots + b_1 z + b_0}{z^n + a_{n-1} z^{n-1} + \dots + a_1 z + a_0} = \frac{b_m \prod_{j=1}^m (z - \zeta_j)}{\prod_{i=1}^n (z - p_i)}$$

其中 $\zeta_j$ 为 $B(\cdot)=0$ 的根，称为系统函数的零点；

$p_i$ 为 $A(\cdot)=0$ 的根，称为系统函数的极点， $b_m$ 是一个常数。

$p_i$ 也是微分/差分方程的特征根

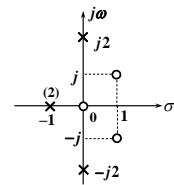
#### 2. 极(零)点的图示

把系统函数 $H(\cdot)$ 的极(零)点标在复平面上的图，

称作系统函数的零、极点分布图。

$$\text{例如: } H(s) = \frac{s[(s-1)^2 + 1]}{(s+1)^2(s^2 + 4)} = \frac{s[s-(1-j)][s-(1+j)]}{(s+1)^2(s+j2)(s-j2)}$$

$$\begin{aligned} p_1 &= -1 \quad (\text{二阶}) \\ p_2 &= -j2 \quad (\text{一阶}) \\ p_3 &= j2 \quad (\text{一阶}) \end{aligned} \left. \vphantom{\begin{aligned} p_1 &= -1 \\ p_2 &= -j2 \\ p_3 &= j2 \end{aligned}} \right\} 4 \text{个} \\ \zeta_1 &= 0 \quad (\text{一阶}) \\ \zeta_2 &= 1-j \quad (\text{一阶}) \\ \zeta_3 &= 1+j \quad (\text{一阶}) \end{aligned} \left. \vphantom{\begin{aligned} \zeta_1 &= 0 \\ \zeta_2 &= 1-j \\ \zeta_3 &= 1+j \end{aligned}} \right\} 3 \text{个}$$



在复平面上极点用“x”、零点用“o”表示。

#### 极(零)点图——离散系统

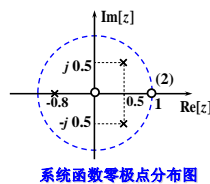
在 $z$ 平面上极点用“x”、零点用“o”表示。

$$H(z) = \frac{z(z-1)^2}{(z+0.8)[z-(0.5+j0.5)][z-(0.5-j0.5)]}$$

$$\begin{aligned} p_1 &= -0.8 \quad (\text{一阶}) \\ p_2 &= 0.5 + j0.5 = \frac{\sqrt{2}}{2} e^{j\pi/4} \quad (\text{一阶}) \\ p_3 &= 0.5 - j0.5 = \frac{\sqrt{2}}{2} e^{-j\pi/4} \quad (\text{一阶}) \end{aligned} \left. \vphantom{\begin{aligned} p_1 &= -0.8 \\ p_2 &= 0.5 + j0.5 \\ p_3 &= 0.5 - j0.5 \end{aligned}} \right\} 3 \text{个}$$

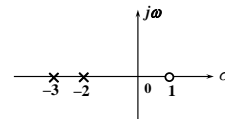
$$\begin{aligned} \zeta_1 &= 0 \quad (\text{一阶}) \\ \zeta_2 &= 1 \quad (\text{二阶}) \end{aligned} \left. \vphantom{\begin{aligned} \zeta_1 &= 0 \\ \zeta_2 &= 1 \end{aligned}} \right\} 3 \text{个}$$

$$H(z) = \frac{z(z-1)^2}{(z+0.8) \left( z - \frac{\sqrt{2}}{2} e^{j\pi/4} \right) \left( z - \frac{\sqrt{2}}{2} e^{-j\pi/4} \right)}$$



系统函数零极点分布图

例1：某一连续系统其系统函数 $H(s)$ 的零极点分布如图  
所示，且已知 $s=0$ 时 $H(0)=1$ ，求该系统的 $H(s)$ 。



$$H(s) = \frac{B(s)}{A(s)} = \frac{b_m s^m + b_{m-1} s^{m-1} + \dots + b_1 s + b_0}{s^n + a_{n-1} s^{n-1} + \dots + a_1 s + a_0} = \frac{b_m \prod_{j=1}^m (s - \zeta_j)}{\prod_{i=1}^n (s - p_i)}$$

$$H(s) = \frac{b_m (s-1)}{(s+2)(s+3)} \quad \therefore H(s) = -6 \frac{(s-1)}{(s+2)(s+3)}$$

$$H(s)|_{s=0} = \frac{b_m (0-1)}{(0+2)(0+3)} = 1 \rightarrow b_m = -6$$

例2：某一连续系统其系统函数 $H(s)$ 的零极点分布如图所示，且已知 $h(0_+)=2$ ，求该系统的 $H(s)$ 。

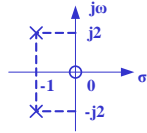
解：由分布图可得

$$H(s) = \frac{ks}{(s+1)^2 + 4} = \frac{ks}{s^2 + 2s + 5}$$

根据初值定理，有

$$h(0_+) = \lim_{s \rightarrow \infty} sH(s) = \lim_{s \rightarrow \infty} \frac{ks^2}{s^2 + 2s + 5} = k = 2$$

$$\therefore H(s) = \frac{2s}{s^2 + 2s + 5}$$



## 二、系统函数与时域响应

### 一) 连续系统

$$H(s) = \frac{B(s)}{A(s)} = H_0 \frac{\prod_{j=1}^m (s - \zeta_j)}{\prod_{i=1}^n (s - p_i)} \quad (7.1-3b)$$

$H(s)$ 的极点=微分方程的特征根

$H(s)$ 的极点决定系统的自由响应(零输入响应)形式

#### 1. $p_i$ 在左半开平面

$$H(s) = \sum_{i=1}^n \frac{k_i}{(s - p_i)} \leftrightarrow h(t) = \sum_{i=1}^n k_i e^{p_i t} \varepsilon(t)$$

(1)  $p_i = \alpha$   $h_i(t) = k_i e^{\alpha t} \varepsilon(t)$  ( $\alpha < 0$ ) - 单实根

(2)  $p_i = \alpha + j\omega_0$   $h_i(t) = 2|k_i| e^{\alpha t} \cos(\omega_0 t + \varphi) \varepsilon(t)$  ( $\alpha < 0$ ) - 共轭复根  
 $p_i^* = \alpha - j\omega_0$

(3)  $p_i = 0$   $H_i(s) = \frac{k_i}{s^n} \leftrightarrow h_i(t) = \frac{k_i}{(n-1)!} t^{n-1} \varepsilon(t) = A t^{n-1} \varepsilon(t)$  - 重根

以上三种情况：当 $t \rightarrow \infty$ 时，响应均趋于0，是暂态分量。

## 二、系统函数与时域响应

### 一) 连续系统

$$H(s) = \frac{B(s)}{A(s)} = H_0 \frac{\prod_{j=1}^m (s - \zeta_j)}{\prod_{i=1}^n (s - p_i)} \quad (7.1-3b)$$

#### 2. $p_i$ 在虚轴上

(1)  $p_i = 0$   $h_i(t) = k_i \varepsilon(t)$  ( $\alpha < 0$ ) - 单实根

(2)  $p_i = j\omega_0$   $h_i(t) = 2|k_i| \cos(\omega_0 t + \varphi) \varepsilon(t)$  - 共轭复根  
 $p_i^* = -j\omega_0$

单极点时，响应是阶跃信号或等幅振荡信号，是稳态分量。

(3)  $p_i = 0$   $H_i(s) = \frac{k_i}{s^n} \leftrightarrow h_i(t) = A t^{n-1} \varepsilon(t)$  - 重根

(4)  $p_i = \pm j\omega_0$   $H(s) = \frac{k_i}{(s \mp j\omega_0)^n} \leftrightarrow h(t) = A t^{n-1} \cos(\omega_0 t + \theta) \varepsilon(t)$  - 重根

重极点时，响应都是递增的。

## 二、系统函数与时域响应

### 一) 连续系统

$$H(s) = \frac{B(s)}{A(s)} = H_0 \frac{\prod_{j=1}^m (s - \zeta_j)}{\prod_{i=1}^n (s - p_i)} \quad (7.1-3b)$$

#### 3. $p_i$ 在右半开平面

(1)  $p_i = \alpha$   $h_i(t) = k_i e^{\alpha t} \varepsilon(t)$  ( $\alpha > 0$ ) - 单实根

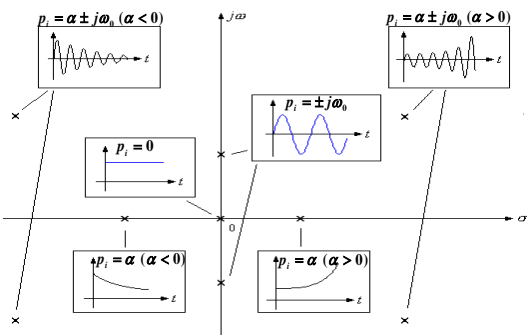
(2)  $p_i = \alpha + j\omega_0$   $h_i(t) = 2|k_i| e^{\alpha t} \cos(\omega_0 t + \varphi) \varepsilon(t)$  ( $\alpha > 0$ ) - 共轭复根  
 $p_i^* = \alpha - j\omega_0$

(3)  $p_i = \alpha \pm j\omega_0$  ( $\alpha > 0$ )  $H_i(s) = \frac{k_i}{[s - (\alpha \pm j\omega_0)]^n}$

$H_i(s) \leftrightarrow h_i(t) = A e^{\alpha t} t^{n-1} \cos(\omega_0 t + \theta) \varepsilon(t)$  - 重根

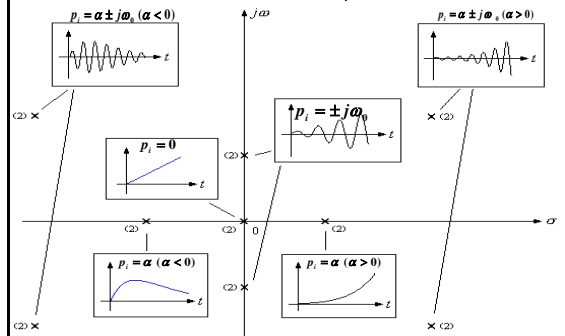
重极点时，响应都是递增的。

## $H(s)$ 的一阶极点分布与时域响应的对应关系



## $H(s)$ 的二阶极点分布与时域响应的对应关系

$$H_i(s) = \frac{k_i}{(s - p_i)^2} \leftrightarrow h(t) = k_i t e^{p_i t} \varepsilon(t)$$

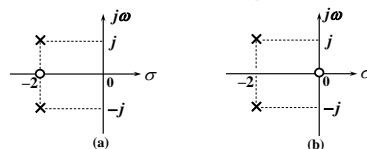


### 结论:

- 1) LTI连续系统的 $h(t)$ ,  $y_h(t)$ 均由 $H(s)$ 的极点决定。
- 2)  $H(s)$ 在左半平面的极点所对应的响应函数为衰减的。  
即当 $t \rightarrow \infty$ 时, 响应均趋于0。
- 3)  $H(s)$ 在虚轴上的一阶极点所对应的响应函数为稳态分量(阶跃函数或等幅振荡)。
- 4)  $H(s)$ 在虚轴上的高阶极点或右半平面上的极点, 其所对应的响应函数都是递增的。  
即当 $t \rightarrow \infty$ 时, 响应均趋于 $\infty$ 。

说明:  $H(s)$ 的零点分布不影响系统的响应形式, 零点只影响响应的幅度和相位。

例3: 某两个系统的系统函数 $H(s)$ 的零、极点分布如图所示, 分别求其系统的冲激响应 $h(t)$ 。



$$H_a(s) = \frac{k(s+2)}{(s+2)^2 + 1} \leftrightarrow h_a(t) = ke^{-2t} \cos t \varepsilon(t)$$

$$H_b(s) = \frac{ks}{(s+2)^2 + 1} \leftrightarrow h_b(t) = k\sqrt{5}e^{-2t} \cos(t + 63.4^\circ) \varepsilon(t)$$

## 二、系统函数与时域响应

### 二) 离散系统

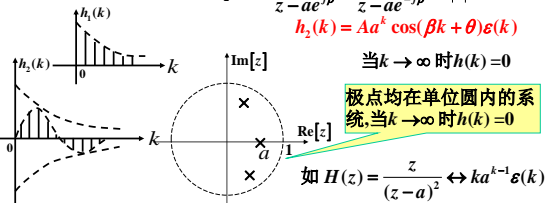
离散系统极点分布区域可分成单位圆内、单位圆上、单位圆外

#### 1. $p_i$ 在z平面的单位圆内

$$p_i = a \quad (|a| < 1) \quad H_1(z) = B \frac{z}{z-a}, \quad |z| > a \quad h_1(k) = Ba^k \varepsilon(k)$$

$$p_{1,2} = ae^{\pm j\beta} \quad (|a| < 1) \quad H_2(z) = \frac{k_1 z}{z - ae^{j\beta}} + \frac{k_2 z}{z - ae^{-j\beta}}, \quad |z| > a$$

$$h_2(k) = Aa^k \cos(\beta k + \theta) \varepsilon(k)$$



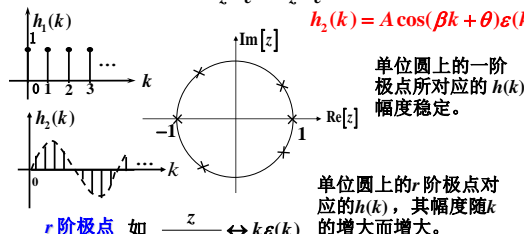
#### 2. $p_i$ 在z平面的单位圆上

##### 一阶极点

$$p_i = \pm 1 \quad H_1(z) = \frac{z}{z \mp 1} \quad |z| > 1 \quad h_1(k) = (\pm 1)^k \varepsilon(k)$$

$$p_{1,2} = e^{\pm j\beta} \quad H_2(z) = \frac{k_1 z}{z - e^{j\beta}} + \frac{k_2 z}{z - e^{-j\beta}}, \quad |z| > 1$$

$$h_2(k) = A \cos(\beta k + \theta) \varepsilon(k)$$



$$r \text{ 阶极点 如 } \frac{z}{(z-1)^2} \leftrightarrow k \varepsilon(k)$$

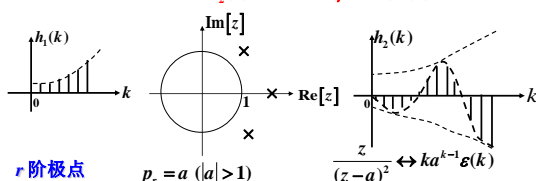
#### 3. $p_i$ 在z平面的单位圆外

##### 一阶极点

$$p_i = a \quad (|a| > 1) \quad H_1(z) = \frac{z}{z-a} \quad |z| > a \quad h_1(k) = a^k \varepsilon(k)$$

$$p_{1,2} = ae^{\pm j\beta} \quad (|a| > 1) \quad H_2(z) = \frac{k_1 z}{z - ae^{j\beta}} + \frac{k_2 z}{z - ae^{-j\beta}}, \quad |z| > a$$

$$h_2(k) = Aa^k \cos(\beta k + \theta) \varepsilon(k)$$



单位圆外的极点, 对应的 $h(k)$ 其幅度随 $k$ 的增大而增大

### 结论:

1) LTI离散系统的 $h(k)$ ,  $y_h(k)$ 均由 $H(z)$ 的极点决定。

$$H(z) = \frac{Y_{zs}(z)}{E(z)} = \frac{B(z)}{A(z)} = \frac{b_m \prod_{j=1}^m (z - \zeta_j)}{\prod_{i=1}^n (z - p_i)}$$

- 2) 位于 $z$ 平面单位圆内的极点所对应的响应当 $k \rightarrow \infty$ 时衰减到零。
- 3) 位于 $z$ 平面单位圆上的一阶极点所对应的响应幅度稳定(阶跃序列或正弦序列。)
- 4) 位于 $z$ 平面单位圆上的二阶(含二阶)以上的极点及单位圆外的极点所对应的响应, 随 $k \rightarrow \infty$ 而趋于无穷大。

### 三、系统函数与频率响应

讨论 $H(s)$ 的零、极点分布与系统频率响应的关系

**频率响应**：指连续系统在虚指数信号(或正弦信号)激励下稳态响应 $y_{ss}(t)$ 随激励信号的频率变化关系。

#### 一) 连续系统

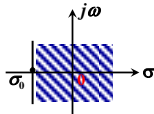
##### 1. 连续系统的频率响应函数 $H(j\omega)$

频率响应(函数)： $H(j\omega) = \frac{Y_{ss}(j\omega)}{F(j\omega)} = |H(j\omega)|e^{j\varphi(\omega)} \leftrightarrow h(t)$

$|H(j\omega)| \sim$  幅频特性,  $\varphi(\omega) \sim$  相频特性

(a)  $H(j\omega) = \mathcal{F}[h(t)]$

(b)  $H(j\omega) = H(s)|_{s=j\omega} \quad \sigma_0 < 0$



$$H(s) = \frac{B(s)}{A(s)} = \frac{b_m s^m + b_{m-1} s^{m-1} + \dots + b_1 s + b_0}{s^n + a_{n-1} s^{n-1} + \dots + a_1 s + a_0} = \frac{b_m \prod_{j=1}^m (s - \zeta_j)}{\prod_{i=1}^n (s - p_i)}$$

$$H(j\omega) = H(s)|_{s=j\omega} = \frac{b_m \prod_{j=1}^m (j\omega - \zeta_j)}{\prod_{i=1}^n (j\omega - p_i)} = |H(j\omega)|e^{j\varphi(\omega)}$$

$$\left. \begin{aligned} (j\omega - \zeta_j) &= B_j e^{j\psi_j} \leftarrow \text{称零点因子} \\ (j\omega - p_i) &= A_i e^{j\theta_i} \leftarrow \text{称极点因子} \end{aligned} \right\} \quad (7.1-5)$$

$$H(j\omega) = \frac{b_m B_1 B_2 \dots B_m}{A_1 A_2 \dots A_n} e^{j(\psi_1 + \psi_2 + \dots + \psi_m - \theta_1 - \theta_2 - \dots - \theta_n)} = |H(j\omega)|e^{j\varphi(\omega)} \quad (7.1-6)$$

$$|H(j\omega)| = \frac{b_m B_1 B_2 \dots B_m}{A_1 A_2 \dots A_n} \quad (7.1-7)$$

$$\varphi(\omega) = (\psi_1 + \psi_2 + \dots + \psi_m) - (\theta_1 + \theta_2 + \dots + \theta_n) \quad (7.1-8)$$

幅频特性

相频特性

#### 2. 频率特性曲线的几何画法

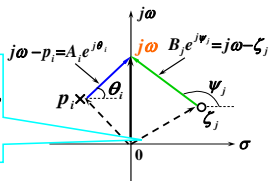
根据系统函数 $H(s)$ 的零、极点在 $s$ 平面的分布,借助几何关系绘制 $|H(j\omega)|$ 和 $\varphi(\omega)$ 的曲线的方法。

$$H(j\omega) = \frac{b_m \prod_{j=1}^m (j\omega - \zeta_j)}{\prod_{i=1}^n (j\omega - p_i)} = H_0 \frac{B_1 B_2 \dots B_m e^{j(\psi_1 + \psi_2 + \dots + \psi_m)}}{A_1 A_2 \dots A_n e^{j(\theta_1 + \theta_2 + \dots + \theta_n)}} = |H(j\omega)|e^{j\varphi(\omega)}$$

$$(j\omega - p_i) = A_i e^{j\theta_i} \quad \text{极矢量}$$

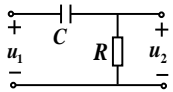
$$(j\omega - \zeta_j) = B_j e^{j\psi_j} \quad \text{零矢量}$$

当 $\omega$ 沿虚轴移动(即频率变化)时,各矢量的模和幅角都将随之变化,因此,由矢量图可画出幅频特性和相频特性曲线。

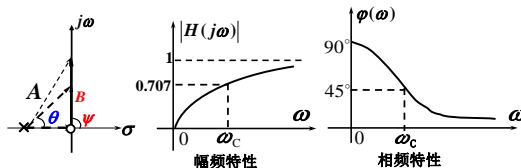


#### 3. 几何法画频率特性举例

**例4**：求图所示系统的 $H(j\omega) = U_2(j\omega)/U_1(j\omega)$ , 并画出频率特性曲线

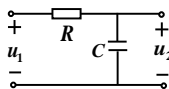


$$H(j\omega) = \frac{j\omega}{j\omega + 1/RC} = \frac{j\omega}{j\omega + \omega_c} = \frac{B e^{j\psi}}{A e^{j\theta}} \quad (j\omega - \zeta_j) = B_j e^{j\psi_j}, (j\omega - p_i) = A_i e^{j\theta_i}$$

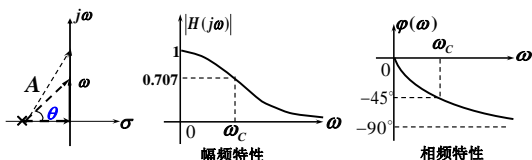


由频率特性可看出该系统为高通网络

**例5**：求图所示系统的 $H(j\omega) = U_2(j\omega)/U_1(j\omega)$ , 并画出频率特性曲线



$$H(j\omega) = \frac{1/RC}{j\omega + 1/RC} = \frac{B}{A e^{j\theta}}$$



由频率特性可看出该系统为低通网络

**例6**：已知某一系统的 $H(s)$ 如下式所示, 粗略画出频率特性曲线。

$$H(s) = \frac{s}{s^2 + 2\alpha s + \omega_0^2} \quad (\omega_0 > \alpha > 0)$$

$$p_{1,2} = -\alpha \pm \sqrt{\alpha^2 - \omega_0^2} = -\alpha \pm j\sqrt{\omega_0^2 - \alpha^2} \quad (7.1-9)$$

$$H(s) = \frac{(s - \zeta_1)}{(s - p_1)(s - p_2)}$$

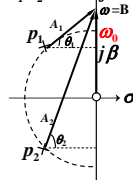
$$\therefore \operatorname{Re}[s] = -\alpha < 0 \quad \therefore H(j\omega) = H(s)|_{s=j\omega}$$

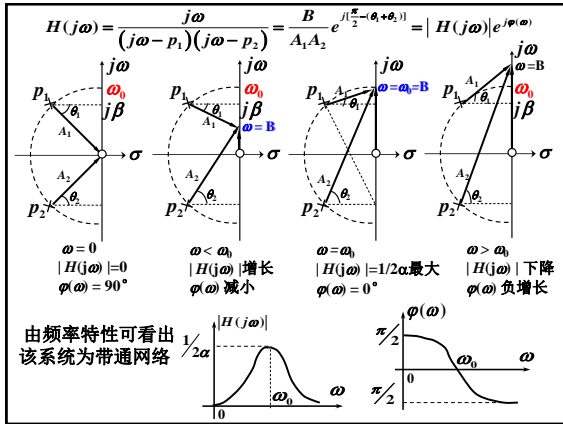
$$H(j\omega) = \frac{j\omega}{(j\omega - p_1)(j\omega - p_2)} = \frac{B}{A_1 A_2} e^{j(\frac{\pi}{2} - (\theta_1 + \theta_2))} = |H(j\omega)|e^{j\varphi(\omega)}$$

$$j\omega = B e^{j\frac{\pi}{2}}$$

$$j\omega - p_1 = A_1 e^{j\theta_1}$$

$$j\omega - p_2 = A_2 e^{j\theta_2}$$





### $H(j\omega)$ 的形式和滤波器的性质

$H(j\omega) = \frac{\alpha_1(j\omega) + \alpha_0}{j\omega + b_1}$   $\alpha_1 = 0$  时为低通  $\alpha_0 = 0$  时为高通

$H(j\omega) = \frac{j\omega}{j\omega + 1/RC}$   $H(j\omega) = \frac{1/RC}{j\omega + 1/RC}$

$H(j\omega) = H_0 \frac{1}{(j\omega + \alpha_1)(j\omega + \alpha_2)}$  低通网络

$H(j\omega) = H_0 \frac{(j\omega)^2}{(j\omega + \alpha_1)(j\omega + \alpha_2)}$  高通网络

$H(j\omega) = H_0 \frac{j\omega}{(j\omega - p_1)(j\omega - p_2)}$   $p_{12} = -\alpha \pm j\beta$  带通网络

$H(j\omega) = H_0 \frac{(j\omega - j\omega_0)(j\omega + j\omega_0)}{(j\omega - p_1)(j\omega - p_2)}$   $p_{12} = -\alpha \pm j\beta$  带阻网络

### 4. 全通函数(全通系统、全通网络)

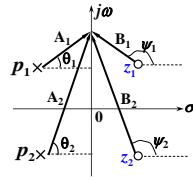
全通系统：如果一个系统函数的极点均位于s平面的左半平面，零点均位于右半平面，而且零点与极点对于虚轴互为镜像对称，则称此系统为全通系统（或全通网络）。

#### 全通系统的特点

(a) 全通函数的零极点成对镜像出现

$$H(s) = \frac{(s - \zeta_1)(s - \zeta_2)}{(s - p_1)(s - p_2)}$$

左半面  $\begin{cases} p_1 = -\alpha + j\beta \\ p_2 = -\alpha - j\beta \end{cases}$  右半面  $\begin{cases} z_1 = \alpha + j\beta \\ z_2 = \alpha - j\beta \end{cases}$



(b)  $|H(j\omega)| = 1$  (全通系统的系统函数幅频特性为常数)

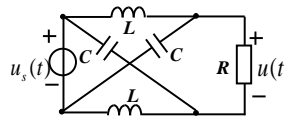
$$H(j\omega) = H(s)|_{s=j\omega} = \frac{B_1 B_2}{A_1 A_2} e^{j(\varphi_1 + \varphi_2 - \theta_1 - \theta_2)} = e^{j\varphi(\omega)}$$

$$\varphi(\omega) = 2\pi - 2(\theta_1 + \theta_2)$$

### 结论:

- 1) 全通网络的极点位于s平面的左半平面，零点位于右半平面，而且零点与极点对于虚轴互为镜像对称。
- 2) 全通网络的幅频特性为常数，而相频特性不受限制。

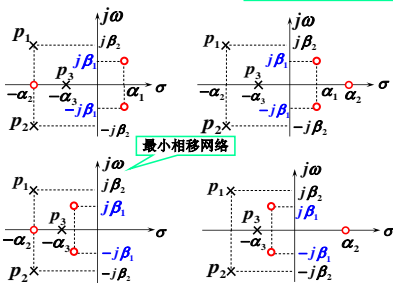
说明：在传输系统中常用全通网络来进行相位矫正（移相器或相位均衡器）



当  $R = \sqrt{L/C}$  时,  $H(s) = \frac{s - \frac{R}{L}}{s + \frac{R}{L}}$ ,  $H(j\omega) = \frac{j\omega - \frac{R}{L}}{j\omega + \frac{R}{L}}$

### 5. 最小相移函数(最小相移网络)

讨论系统函数的零点对系统特性的影响



可以证明对于具有相同幅频特性的系统而言，零点位于左半平面的系统函数其φ(ω)的最小。

结论对于具有相同幅频特性的系统函数而言，右半开平面没有零点的系统函数称为最小相移函数。(相应网络称为最小相移网络)

具有相同幅频特性的系统函数H(s)零、极点分布

### 二) 离散系统

#### 1. 离散系统的频率响应函数H(e<sup>jθ</sup>)

$H(z) = \frac{B(z)}{A(z)} = \frac{b_m \prod_{j=1}^m (z - \zeta_j)}{\prod_{i=1}^n (z - p_i)}$  当H(z)在单位圆上收敛时(即H(z)的极点均在单位圆内)

$H(e^{j\theta}) = H(z)|_{z=e^{j\theta}} = B \frac{\prod_{j=1}^m (e^{j\theta} - \zeta_j)}{\prod_{i=1}^n (e^{j\theta} - p_i)}$   $(e^{j\theta} - \zeta_j) = B_j e^{j\varphi_j}$   $(e^{j\theta} - p_i) = A_i e^{j\theta_i}$

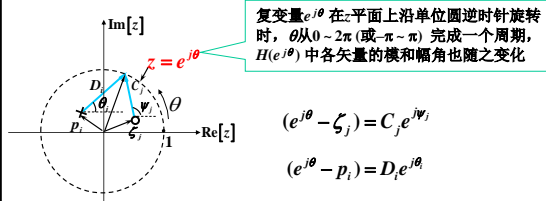
$H(e^{j\theta}) = |H(e^{j\theta})| e^{j\varphi(\theta)} = \frac{b_m B_1 B_2 \dots B_m e^{j(\varphi_1 + \varphi_2 + \dots + \varphi_m)}}{A_1 A_2 \dots A_n e^{j(\theta_1 + \theta_2 + \dots + \theta_n)}} \quad (7.1-22)$

$|H(e^{j\theta})| = \frac{b_m B_1 B_2 \dots B_m}{A_1 A_2 \dots A_n}$   $\varphi(\theta) = (\varphi_1 + \varphi_2 + \dots + \varphi_m) - (\theta_1 + \theta_2 + \dots + \theta_n) \quad (7.1-23)$

## 2. 频率响应的几何确定法

$$H(e^{j\theta}) = |H(e^{j\theta})| e^{j\varphi(\theta)} = \frac{b_m B_1 B_2 \dots B_m e^{j(\psi_1 + \psi_2 + \dots + \psi_m)}}{A_1 A_2 \dots A_n e^{j(\theta_1 + \theta_2 + \dots + \theta_n)}} \quad (7.1-22)$$

$$\left. \begin{aligned} |H(e^{j\theta})| &= \frac{b_m B_1 B_2 \dots B_m}{A_1 A_2 \dots A_n} \\ \varphi(\theta) &= (\psi_1 + \psi_2 + \dots + \psi_m) - (\theta_1 + \theta_2 + \dots + \theta_n) \end{aligned} \right\} \quad (7.1-23)$$



例7: 某一离散因果系统  $H(z) = 2(z+1)/(3z-1)$ , 求其频率响应

解:  $p=1/3$   $|z|>1/3$  (即单位圆在收敛域内)

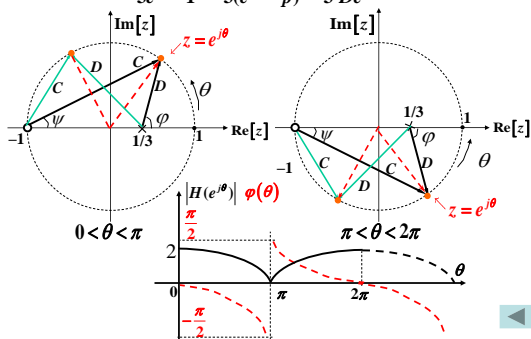
$$H(e^{j\theta}) = H(z)|_{z=e^{j\theta}} = \frac{2(e^{j\theta} + 1)}{3e^{j\theta} - 1}$$

法一:

$$\begin{aligned} H(e^{j\theta}) &= \frac{2e^{j\theta/2}(e^{j\theta/2} + e^{-j\theta/2})}{e^{j\theta/2}(3e^{j\theta/2} - e^{-j\theta/2})} = \frac{2(e^{j\theta/2} + e^{-j\theta/2})}{(e^{j\theta/2} + e^{-j\theta/2}) + (2e^{j\theta/2} - 2e^{-j\theta/2})} \\ &= \frac{2 \cdot 2 \cos(\theta/2)}{2 \cos(\theta/2) + 4j \sin(\theta/2)} = \frac{2}{1 + j2 \tan \frac{\theta}{2}} = |H(e^{j\theta})| e^{j\varphi(\theta)} \\ |H(e^{j\theta})| &= \frac{2}{\sqrt{1 + 4 \tan^2(\frac{\theta}{2})}} \quad \varphi(\theta) = -\arctan\left(2 \tan \frac{\theta}{2}\right) \end{aligned}$$

## 法二: 几何法

$$H(e^{j\theta}) = \frac{2(e^{j\theta} + 1)}{3e^{j\theta} - 1} = \frac{2(e^{j\theta} - z)}{3(e^{j\theta} - p)} = \frac{2 C e^{j\psi}}{3 D e^{j\theta_i}}$$



## 7.2 系统的因果性与稳定性

### 一、系统的因果性

因果系统是指, 系统的零状态响应  $y_{zs}(\cdot)$  不会出现在  $f(\cdot)$  之前的系统。

连续因果系统的充分必要条件是: 冲激响应  $h(t) = 0, t < 0$

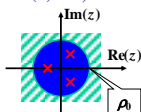
或者, 系统函数  $H(s)$  的收敛域为:  $\text{Re}\{s\} > \sigma_0$

离散因果系统的充分必要条件是: 单位响应  $h(k) = 0, k < 0$

或者, 系统函数  $H(z)$  的收敛域为:  $|z| > \rho_0$

换言之  $H(z)$  的极点均在

半径为  $\rho_0$  收敛圆的内部(为什么?)



## 二、系统的稳定性

### 1. 稳定系统概念

对  $|f(\cdot)| \leq M_f$  (即有界输入)  $\begin{cases} \text{若 } |y_{zs}(t)| \leq M_y \text{ (即有界)}, \text{ 称系统稳定} \\ \text{若 } |y_{zs}(t)| \text{ 无界, 称系统不稳定} \end{cases}$

### 2. 系统稳定性的判断

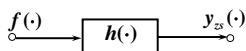
#### 1) 从时域判断

$$\int_{-\infty}^{\infty} |h(t)| dt \leq M \sim \text{连续稳定系统的充要条件}$$

$$\text{若 } \int_0^{\infty} |h(t)| dt \leq M \sim \text{连续因果稳定系统}$$

$$\sum_{k=-\infty}^{\infty} |h(k)| \leq M \sim \text{离散稳定系统的充要条件}$$

$$\text{若 } \sum_{k=0}^{\infty} |h(k)| \leq M \sim \text{离散因果稳定系统}$$



## 二、系统的稳定性

### 2. 系统稳定性的判断

#### 2) 从变换域判断

#### a) 连续系统

若  $H(s)$  的收敛域包含虚轴, 则该系统必是稳定系统。

(1) 稳定系统:  $H(s)$  的极点全部位于  $s$  平面的左半开平面。

(2) 临界稳定系统:  $H(s)$  在虚轴上含一阶极点, 其余极点均位于  $s$  平面的左半平面的系统。

(3) 不稳定系统:  $H(s)$  含有右半平面[或虚轴上的二阶(含二阶)以上]的极点。

例1: 判断各系统的稳定性

$$H_1(s) = \frac{s-1}{(s+1)(s+2)} \quad \text{稳定系统}$$

$$H_2(s) = \frac{s}{(s+3)(s-1)} \quad \text{非稳定系统}$$

$$H_3(s) = \frac{1}{s(s+2)} \quad \text{临界稳定系统}$$

连续系统的稳定性准则

$$H(s) = \frac{B(s)}{A(s)} = \frac{b_ms^m + b_{m-1}s^{m-1} + \dots + b_1s + b_0}{a_ns^n + a_{n-1}s^{n-1} + \dots + a_1s + a_0}$$

若系统函数 $H(s)$ 的特征多项式 $A(s)$ 为霍尔维兹多项式, 则此系统为稳定系统

(1) 霍尔维兹多项式

$\sim A(s)$ 的所有根均在 $s$ 平面的左半开平面的多项式

(a)  $A(s)$ 为霍尔维兹多项式的必要条件

$A(s)$ 的全部系数 $a_i > 0$  (即其中任意一个系数不能为零或负数)

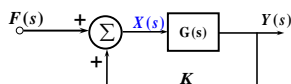
(b)  $A(s)$ 为霍尔维兹多项式的充要条件 $\sim$ 罗斯准则

(2) 稳定性判别准则 $\sim$ 罗斯准则 (由罗斯阵列判断)

对于二阶系统 $A(s)$ 为霍尔维兹多项式的条件 (记住)

$$a_2 > 0, a_1 > 0, a_0 > 0$$

例2: 图所示为一反馈系统, 已知 $G(s) = \frac{s}{s^2 + 4s + 4}$ ,  $K$ 为一常数。确定使系统稳定的 $K$ 值范围。



$$H(s) = \frac{s}{s^2 + (4-K)s + 4} \quad \text{解得 } K < 4$$

二阶系统 $A(s)$ 为霍尔维兹多项式的条件是

$$a_2 > 0, a_1 > 0, a_0 > 0$$

二、系统的稳定性

2. 系统稳定性的判断

2) 从变换域判断

b) 离散系统

(1) 稳定系统:  $H(z)$ 的极点均在单位圆内。

(2) 临界稳定系统: 单位圆上含一阶极点, 其余极点均在单位圆内。

(3) 不稳定系统:  $H(z)$ 含有单位圆外[或单位圆上的二阶(含二阶)以上]极点。

$$H(z) = \frac{k_1z}{z-p_1} + \frac{k_2z}{z-p_2} + \dots + \frac{k_iz}{z-p_i} + \dots + \frac{k_nz}{z-p_n}$$

例3: 某两个因果系统的差分方程如下, 试判断系统是否稳定。

$$(1) y(k) - 0.3y(k-1) - 0.18y(k-2) = f(k)$$

$$(2) y(k) - 1.4y(k-1) - 1.2y(k-2) = f(k) - f(k-1)$$

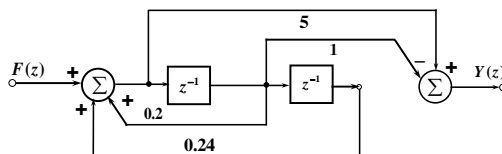
$$(1) H(z) = \frac{1}{1 - 0.3z^{-1} - 0.18z^{-2}} \quad \text{非稳定系统}$$

$$= \frac{z^2}{z^2 - 0.3z - 0.18} = \frac{z^2}{(z-0.6)(z+0.3)}$$

$$(2) H(z) = \frac{1-z^{-1}}{1-1.4z^{-1}-1.2z^{-2}} = \frac{z^2-z}{z^2-1.4z-1.2}$$

$$= \frac{z^2-z}{(z-2)(z+0.6)}$$

例4: 图所示因果系统, 1) 试判断系统是否稳定, 2) 求 $h(k)$



极点均在单位圆内, 系统稳定

$$H(z) = \frac{5z^2 - z}{z^2 - 0.2z - 0.24} = \frac{2z}{z-0.6} + \frac{3z}{z+0.4}$$

$$h(k) = [2(0.6)^k + 3(-0.4)^k] \varepsilon(k)$$

## 离散系统的稳定性准则—朱里准则

对于二阶系统稳定的充要条件是

$$H(z) = \frac{B(z)}{A(z)}$$

$$\left. \begin{aligned} A(z) &= a_2 z^2 + a_1 z + a_0 \\ A(1) &> 0 \\ A(-1) &> 0 \\ a_2 &> |a_0| \end{aligned} \right\}$$

记住

例5：某一离散系统的系统函数如下，求使系统稳定的 $K$ 值。

$$H(z) = \frac{z^2 + 3z + 2}{2z^2 - (K-1)z + 1} \quad -2 < K < 4$$

因果、稳定系统收敛域应满足什么条件？

$$H(z) \text{ 的收敛域满足 } \rho_0 < |z|, \rho_0 < 1$$

## 7.3 信号流图

系统的不同描述方法

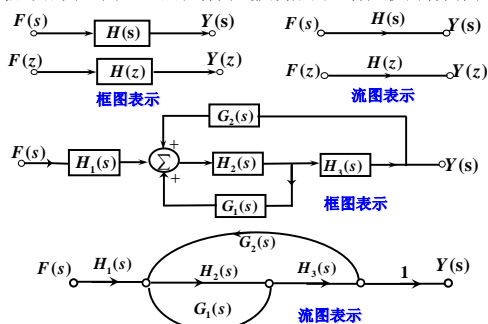
- 1) 用微分方程(连续系统)或差分方程(离散系统)描述。
- 2) 用框图描述。
- 3) 用信号流图描述(比框图更为简便)。

由美国人梅森于20世纪50年代提出

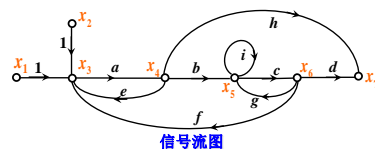
说明：无论是连续系统还是离散系统，若抛开其物理意义仅从图的角度分析方法相同，因此一并讨论。

### 一、信号流图的基本概念

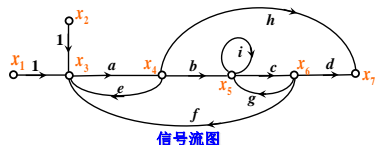
信号流图：用一些点和有向线段构成的一种赋权的有向图



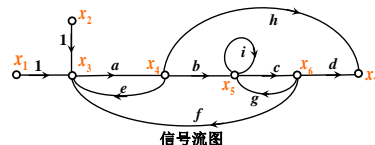
### 二、信号流图中的术语



- (1) **结点**：表示系统中变量或信号的点，图中 $x_1, x_2, \dots, x_7$ 。
- (2) **支路**：连接两个结点之间的有向线段，表示信号传输的路径和方向。
- (3) **支路增益**：两个结点间的转移函数(即系统函数)(标在支路箭头附近)
- (4) **源点**(又称输入结点)：仅有输出支路的结点，对应自变量(即输入信号)，图中的 $x_1, x_2$ 对应的点。

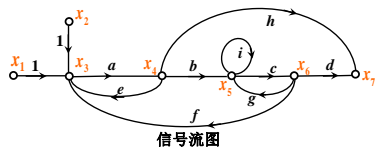


- (5) **汇点**：又称阱点或输出结点，只有入支路的结点，对应因变量(即输出信号)图中 $x_7$ 对应的点。
- (6) **混合结点**：既有入支路又有出支路的结点，图中 $x_3, x_4, x_5, x_6$ 对应的结点。
- (7) **通路**：从任意结点出发，沿支路箭头方向通过各相连的不同支路和结点到达另一结点的路径。(不允许有相反方向支路存在)
- (8) **开通路**：与任一结点相交不多于一次的通路。



- (9) **闭通路**：又称回路或环路，通路的终点即为起点，且与任何其他结点相交不多于一次的通路。
- (10) **自回路**(又称自环路)：只有一个结点和一条支路的回路。
- (11) **通路增益**：通路(开通路或回路)中各支路增益的乘积。
- (12) **不接触回路**：两回路之间没有任何公共结点的回路。





信号流图

(13) **前向通路**：从源点(入结点)到汇点(出结点)的开通路。

(开通路：与任一结点相交不多于一次的通路)

(14) **前向通路增益**：前向通路中，各支路增益的乘积。

### 三、信号流图的性质

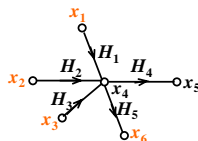
**性质一**：信号只能沿着支路箭头方向传输，支路的输出是该支路的输入与支路增益的乘积。

**性质二**：对于有多个输入的混合结点，将该结点所有输入支路的信号相加，并将“和信号”传输给所有与该结点相联的输出支路。

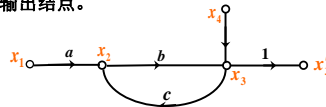
$$x_4 = H_1 x_1 + H_2 x_2 + H_3 x_3$$

$$x_5 = H_4 x_4$$

$$x_6 = H_5 x_4$$



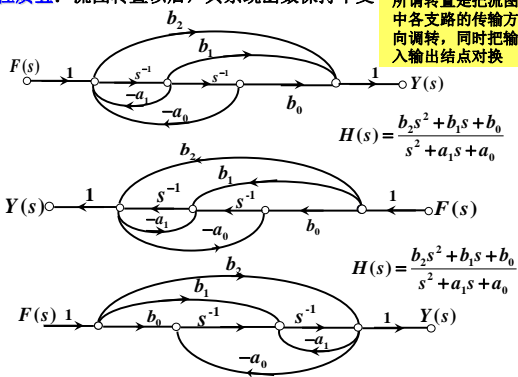
**性质三**：混合结点，通过增加一个支路增益为1的支路可变成输出结点。



**性质四**：给定系统，信号流图形式并非惟一（即同一系统可画出不同的流图）

**性质五**：流图转置以后，其系统函数保持不变

所谓转置是把流图中各支路的传输方向调转，同时把输入输出端点对换



### 四、信号流图的化简——梅森公式

$$H(\cdot) = \frac{1}{\Delta} \sum_i P_i \Delta_i \quad (7.3-8)$$

$$\text{式中 } \Delta = 1 - \sum_j L_j + \sum_{m,n} L_m L_n - \sum_{p,q,r} L_p L_q L_r + \dots \quad (7.3-9)$$

**信号流图的特征行列式**

式中  $\sum_j L_j$  是所有不同回路的增益之和

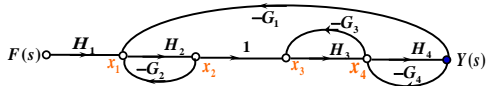
$\sum_{m,n} L_m L_n$  是所有两两互不接触环路增益的乘积之和

$i$  表示由源点到汇点的第*i*条前向通路的标号。

$P_i$  表示由源点到汇点的第*i*条前向通路增益。

$\Delta_i$  表示与第*i*条前向通路不相接触的子图的特征行列式

### 例1 用梅森公式求图所示系统的转移函数



解：(1) **求特征行列式**

a) 共4条回路

回路1:  $x_1 \rightarrow x_2 \rightarrow x_1$ , 增益  $L_1 = -H_2 G_2$

回路2:  $x_3 \rightarrow x_4 \rightarrow x_3$ , 增益  $L_2 = -H_3 G_3$

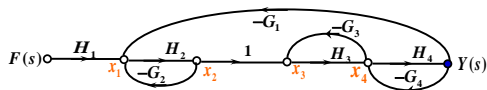
回路3:  $x_4 \rightarrow Y \rightarrow x_4$ , 增益  $L_3 = -H_4 G_4$

回路4:  $x_1 \rightarrow x_2 \rightarrow x_3 \rightarrow x_4 \rightarrow Y \rightarrow x_1$ , 增益  $L_4 = -H_2 H_3 H_4 G_1$

b) 两两不接触回路共2对

回路1与回路2, 增益之积  $L_1 \cdot L_2 = H_2 G_2 H_3 G_3$

回路1与回路3, 增益之积  $L_1 \cdot L_3 = H_2 G_2 H_4 G_4$



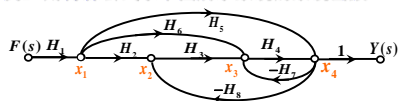
$$\begin{aligned} \Delta &= 1 - (L_1 + L_2 + L_3 + L_4) + L_1 \cdot L_2 + L_1 \cdot L_3 \\ &= 1 - (-H_2 G_2 - H_3 G_3 - H_4 G_4 - H_2 H_3 H_4 G_1) \\ &\quad + H_2 G_2 H_3 G_3 + H_2 G_2 H_4 G_4 \end{aligned}$$

(2) **前向通路一条**

$F \rightarrow x_1 \rightarrow x_2 \rightarrow x_3 \rightarrow x_4 \rightarrow Y$ , 前向增益  $P_1 = H_1 H_2 H_3 H_4$

$$\begin{aligned} H(s) &= \frac{P_1 \Delta_1}{\Delta} = \frac{H_1 H_2 H_3 H_4}{1 + H_2 G_2 + H_3 G_3 + H_4 G_4 + H_2 H_3 H_4 G_1 + H_2 G_2 H_3 G_3 + H_2 G_2 H_4 G_4} \end{aligned}$$

### 例2 用梅森公式求下图所示系统的系统函数



解:(1) 求特征行列式

a) 共2条回路

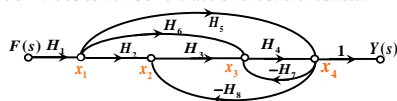
回路1:  $x_3 \rightarrow x_4 \rightarrow x_3$ , 增益  $L_1 = -H_4H_7$

回路2:  $x_2 \rightarrow x_3 \rightarrow x_4 \rightarrow x_2$ , 增益  $L_2 = -H_3H_4H_8$

b) 两两不接触回路无

$$\begin{aligned}\Delta &= 1 - (L_1 + L_2) \\ &= 1 - (-H_4H_7 - H_3H_4H_8) \\ &= 1 + H_4H_7 + H_3H_4H_8\end{aligned}$$

### 例2 用梅森公式求下图所示系统的系统函数



(2) 前向通路3条

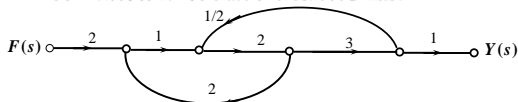
$F \rightarrow x_1 \rightarrow x_2 \rightarrow x_3 \rightarrow x_4 \rightarrow Y$ , 前向增益  $p_1 = H_1H_2H_3H_4$

$F \rightarrow x_1 \rightarrow x_3 \rightarrow x_4 \rightarrow Y$ , 前向增益  $p_2 = H_1H_6H_4$

$F \rightarrow x_1 \rightarrow x_4 \rightarrow Y$ , 前向增益  $p_3 = H_1H_5$   $\Delta_i = 1$

$$H(s) = \frac{1}{\Delta} \sum_i p_i \Delta_i = \frac{H_1H_5 + H_1H_2H_3H_4 + H_1H_6H_4}{1 + H_4H_7 + H_3H_4H_8}$$

### 例3 用梅森公式求图所示系统的转移函数



解:(1) 求特征行列式

a) 共2条回路

b) 两两不接触回路无

回路1: 增益  $L_1 = 4$

回路2: 增益  $L_2 = 3$

$$\Delta = 1 - \sum_j L_j = -6$$

(2) 前向通路1条

前向增益  $p_1 = 12, \Delta_1 = 1$

$$H(s) = \frac{1}{\Delta} \sum_i p_i \Delta_i = \frac{p_1}{\Delta} = \frac{12}{-6} = -2$$

## 7.4 系统的结构

梅森公式是由流图  $\rightarrow H(s)$  或  $H(z)$

下面讨论, 由  $H(s)$  或  $H(z) \rightarrow$  流图或方框图

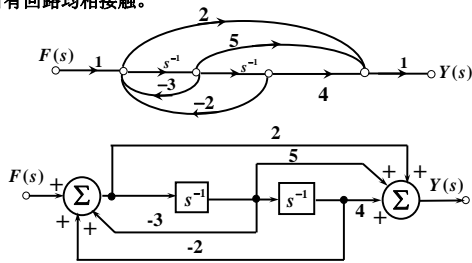
同一个系统有不同形式的实现方案:

(1) 直接形式 (2) 级联形式 (3) 并联形式

### 一、直接实现

$$H(s) = \frac{2s^2 + 5s + 4}{s^2 + 3s + 2} = \frac{2 + 5s^{-1} + 4s^{-2}}{1 + 3s^{-1} + 2s^{-2}} = \frac{2 + 5s^{-1} + 4s^{-2}}{1 - (-3s^{-1} - 2s^{-2})}$$

分子中每项看成是一条前向通路。分母中, 除1之外, 其余每项看成一个回路。画流图时, 所有前向通路与全部回路相接触。所有回路均相接触。



描述连续LTI系统的微分方程的一般形式为

$$\begin{aligned}y^{(n)}(t) + a_{n-1}y^{(n-1)}(t) + \dots + a_1y'(t) + a_0y(t) \\ = b_n f^{(m)}(t) + b_{n-1}f^{(m-1)}(t) + \dots + b_1f'(t) + b_0f(t)\end{aligned}$$

$$\text{系统函数为 } H(s) = \frac{b_ms^m + b_{m-1}s^{m-1} + b_{m-2}s^{m-2} + \dots + b_1s + b_0}{s^n + a_{n-1}s^{n-1} + a_{n-2}s^{n-2} + \dots + a_1s + a_0}$$

为使分析更具有普遍性, 令  $m = n$ , 则

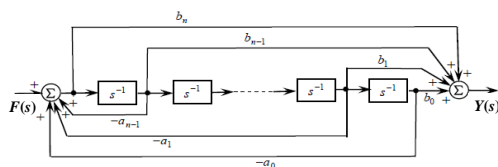
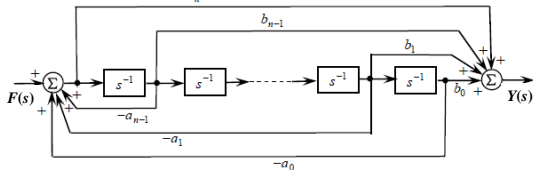
$$H(s) = \frac{b_ns^n + b_{n-1}s^{n-1} + b_{n-2}s^{n-2} + \dots + b_1s + b_0}{s^n + a_{n-1}s^{n-1} + a_{n-2}s^{n-2} + \dots + a_1s + a_0}$$

$$H(s) = \frac{b_n s^n + b_{n-1} s^{n-1} + \dots + b_1 s + b_0}{s^n + a_{n-1} s^{n-1} + \dots + a_1 s + a_0}$$

由于模拟方框图通常是用积分器实现的，通常将上式改写为

$$H(s) = \frac{b_n + b_{n-1} s^{-1} + b_{n-2} s^{-2} + \dots + b_1 s^{-(n-1)} + b_0 s^{-n}}{1 + a_{n-1} s^{-1} + a_{n-2} s^{-2} + \dots + a_1 s^{-(n-1)} + a_0 s^{-n}}$$

$$H(s) = \frac{b_n + b_{n-1} s^{-1} + b_{n-2} s^{-2} + \dots + b_1 s^{-(n-1)} + b_0 s^{-n}}{1 - (-a_{n-1} s^{-1} - a_{n-2} s^{-2} - \dots - a_1 s^{-(n-1)} - a_0 s^{-n})}$$



$$H(s) = \frac{b_n + b_{n-1} s^{-1} + b_{n-2} s^{-2} + \dots + b_1 s^{-(n-1)} + b_0 s^{-n}}{1 - (-a_{n-1} s^{-1} - a_{n-2} s^{-2} - \dots - a_1 s^{-(n-1)} - a_0 s^{-n})}$$

由以上分析可以看出：

**n阶连续系统的方框图需要n个积分器级联**，这是实现n阶系统所需的最小数目的积分器；

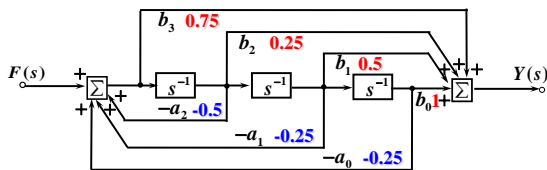
**H(s)的分母对应框图中的反馈回路**，这些反馈回路的系数分别为 $-a_{n-1}$ ， $-a_{n-2}$ ， $\dots$ ， $-a_1$ ， $-a_0$

**H(s)的分子对应框图中的前向通路**，各条前向通路的系数分别为 $b_n$ ， $b_{n-1}$ ， $b_{n-2}$ ， $\dots$ ， $b_1$ ， $b_0$

例1: 已知某连续系统的系统函数 $H(s) = \frac{3s^3 + s^2 + 2s + 4}{4s^3 + 2s^2 + s + 1}$ ，画出其直接型结构。

$$H(s) = \frac{b_n + b_{n-1} s^{-1} + b_{n-2} s^{-2} + \dots + b_1 s^{-(n-1)} + b_0 s^{-n}}{1 - (-a_{n-1} s^{-1} - a_{n-2} s^{-2} - \dots - a_1 s^{-(n-1)} - a_0 s^{-n})}$$

$$H(s) = \frac{0.75 + 0.25s^{-1} + 0.5s^{-2} + s^{-3}}{1 - (-0.5s^{-1} - 0.25s^{-2} - 0.25s^{-3})}$$



对于n阶离散系统，需n个单位延时单元级联。这是实现n阶系统所需的最小数目的延时单元。

**H(z)的分母对应方框图中的反馈回路**，

**分子对应方框图中的前向通路。**

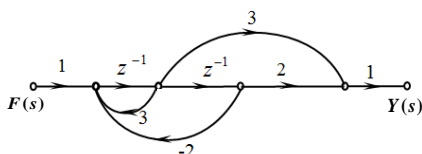
可见，只要将变量s换成z，复变量s换成z，

积分器换成延时单元，就可由连续系统的直接型框图/流图，得到离散系统的直接型框图/流图。

例2: 某LTI离散系统的系统函数为  $H(z) = \frac{3z + 2}{z^2 - 3z + 2}$

画出该系统的直接型流图

$$H(z) = \frac{3z + 2}{z^2 - 3z + 2} = \frac{3z^{-1} + 2z^{-2}}{1 - 3z^{-1} + 2z^{-2}}$$

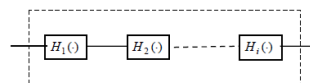


## 二、级联与并联实现

1. **级联形式**是将系统函数分解为几个较简单的子系统函数的乘积，即

$$H(\cdot) = H_1(\cdot) \cdot H_2(\cdot) \dots H_n(\cdot) = \prod_{i=1}^n H_i(\cdot) \quad (7.4-5)$$

系统的级联实现框图如下

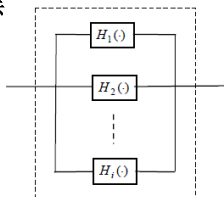


其中每个子系统可以用直接形式实现。

2. **并联形式**是将系统函数分解为几个较简单的子系统函数之和，即

$$H(\cdot) = H_1(\cdot) + H_2(\cdot) + \cdots + H_n(\cdot) = \sum_{i=1}^n H_i(\cdot) \quad (7-11)$$

其框图形式如下图所示

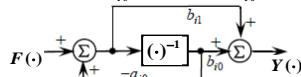


其中每个子系统可以由直接型结构实现。

通常各子系统选用一阶系统和二阶系统，分别称为一阶节、二阶节。

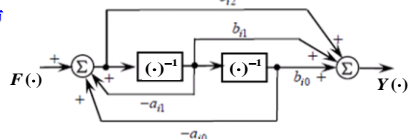
$$H_i(\cdot) = \frac{b_{i1} + b_{i0}(\cdot)^{-1}}{1 + a_{i0}(\cdot)^{-1}} = \frac{b_{i1} + b_{i0}(\cdot)^{-1}}{1 - [-a_{i0}(\cdot)^{-1}]} \quad (7.4-7)$$

一阶节



$$H_i(\cdot) = \frac{b_{i2} + b_{i1}(\cdot)^{-1} + b_{i0}(\cdot)^{-2}}{1 + a_{i1}(\cdot)^{-1} + a_{i0}(\cdot)^{-2}} = \frac{b_{i2} + b_{i1}(\cdot)^{-1} + b_{i0}(\cdot)^{-2}}{1 - [-a_{i1}(\cdot)^{-1} - a_{i0}(\cdot)^{-2}]} \quad (7.4-8)$$

二阶节



为了保证级联和并联的各子系统物理上可实现，这些因式的系数必须为实数。就是说， $H(\cdot)$ 的实极点可构成一阶节的分母，两个实极点组合成二阶节的分母，而一对共轭复极点可构成二阶节的分母。

例3：已知  $F(z) = \frac{z^2 + z}{(z^2 - z + 1)(z - 1)}$ ，

分别用级联形式和并联形式模拟该系统。

$$\text{解：} F(z) = \frac{z^2 + z}{z^2 - z + 1} \cdot \frac{1}{z - 1} = \frac{1 + z^{-1}}{1 - z^{-1} + z^{-2}} \cdot \frac{z^{-1}}{1 - z^{-1}}$$

$$F(z) = \frac{-2z^2 + z}{z^2 - z + 1} + \frac{2z}{z - 1} = \frac{-2 + z^{-1}}{1 - z^{-1} + z^{-2}} + \frac{2}{1 - z^{-1}}$$

$$F(z) = \frac{-z + 2}{z^2 - z + 1} + \frac{2}{z - 1} = \frac{-z^{-1} + 2z^{-2}}{1 - z^{-1} + z^{-2}} + \frac{2z^{-1}}{1 - z^{-1}}$$

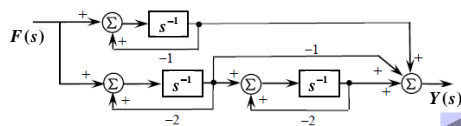
例4：已知一连续系统的系统函数  $H(s) = \frac{2s + 3}{(s + 1)(s + 2)^2}$ ，

试用并联形式模拟该系统。

解：将系统函数展开成

$$H(s) = \frac{1}{s + 1} + \frac{-1}{s + 2} + \frac{1}{(s + 2)^2}$$

$$= \frac{s^{-1}}{1 + s^{-1}} + \frac{-s^{-1}}{1 + 2s^{-1}} + \left( \frac{s^{-1}}{1 + 2s^{-1}} \right)^2$$



## 第七章重点及要求

- 1) 掌握系统函数的零、极点分布对系统特性的影响
- 2) 掌握系统函数  $H(\cdot)$  和频率响应 (函数) 的关系，能定性画出简单系统的频率响应的特性曲线。
- 3) 掌握系统因果性和稳定性的概念，能用罗斯和朱里准则判断系统是否稳定 (注：公式不要求记) 由  $H(\cdot)$  能直接判断二阶系统是否稳定。
- 4) 掌握流图概念，掌握梅森公式，能够由直接形式、并联形式和级联形式模拟某特定系统。